

## Лекция 10

### Решение Шварцшильда

До сих пор мы рассматривали только слабые гравитационные поля, либо предполагая малость тензора-энергии импульса, либо рассматривая систему вдали от источников. Есть большой соблазн думать, что слабое гравитационное поле описывается линейной теорией, подобной электродинамике, однако это *не так*. Получаемая таким способом теория не является математически замкнутой. Это выражается, прежде всего, в том, что возмущение метрики  $h_{\mu\nu}$  влияет на измерение расстояний и времени и, таким образом, не допускает масштабирования: если мы увеличим поля так, чтобы  $h_{\mu\nu}$  было бы сравнимо с  $\eta_{\mu\nu}$ , мы получим абсурдные результаты для движения частиц в поле. Поэтому нам с необходимостью надо рассмотреть сильное поле и понять, к каким эффектам приводит сильная нелинейность. Как мы увидим, неизбежным следствием уравнений поля оказываются особенности пространственно-временного многообразия.

В этой лекции мы построим сферически-симметричное решение уравнений Эйнштейна — *решение Шварцшильда* — в четырехмерном пространстве-времени и изучим движение частиц в таком поле. Формально это решение будет стационарным, то есть компоненты метрики не будут зависеть от времени. Важный вывод будет состоять в том, что стационарность этого решения фиктивна и связана с неполнотой выбранной системы координат: она определена только в одной карте и не описывает многообразие целиком.

Что могли бы означать слова «сферически-симметричное решение» в применении к искривленному пространству-времени? Чтобы это понять, разберем, что мы понимаем под сферически-симметричным решением теории поля в пространстве-времени Минковского. Плоское пространство-время обладает группой симметрии  $SO(3)$  вращений трехмерного пространства. Эта группа порождается тремя генераторами

$$J_x = z \partial_y - y \partial_z, \quad J_y = x \partial_z - z \partial_x, \quad J_z = y \partial_x - x \partial_y, \quad (10.1)$$

образующими алгебру Ли  $so(3) \simeq su(2)$  относительно коммутатора:

$$[J_i, J_j] = \sum_{k=x}^z \epsilon^{ijk} J_k, \quad \epsilon^{xyz} = 1, \quad \epsilon^{ijk} = -\epsilon^{jik} = -\epsilon^{ikj}. \quad (10.2)$$

Генераторы  $J_i$  являются векторными полями Киллинга для плоской метрики. Под сферически-симметричными решениями мы понимаем решения, инвариантные относительно группы вращений  $SO(3)$ . В терминах векторных полей Киллинга это выражается так

$$\delta_{J_i} A = 0, \quad (10.3)$$

где  $A(x)$  — некоторое тензорное поле (сечение тензорного расслоения), а  $\delta_\xi$  — уже знакомая нам производная Ли.

Для записи сферически-симметричных решений удобно выбрать сферические координаты  $t, r, \vartheta, \varphi$ ,

$$x = r \sin \vartheta \cos \varphi, \quad y = r \sin \vartheta \sin \varphi, \quad z = r \cos \vartheta, \quad (10.4)$$

причем метрика будет даваться формулой

$$ds^2 = dt^2 - dr^2 - r^2 d\Omega^2, \quad (10.5)$$

где  $d\Omega^2$  — метрика на единичной сфере:

$$d\Omega^2 = d\vartheta^2 + \sin^2 \vartheta d\varphi^2. \quad (10.6)$$

В этих координатах векторы Киллинга  $J_i$  имеют вид

$$J_x = \sin \varphi \partial_\vartheta + \operatorname{ctg} \vartheta \cos \varphi \partial_\varphi, \quad J_y = -\cos \varphi \partial_\vartheta + \operatorname{ctg} \vartheta \sin \varphi \partial_\varphi, \quad J_z = -\partial_\varphi. \quad (10.7)$$

Видно, что векторные поля  $J_i$  действуют на сferах  $r, t = \text{const}$ , причем группа  $SO(3)$  действует на сфере транзитивно. Поэтому скалярные поля для сферически-симметричного решения должны были быть функциями только от  $r$  и  $t$ .

В искривленном пространстве-времени будем действовать точно так же. Мы назовем метрику сферически-симметричной, если в ней имеются три пространственноподобных векторных поля Киллинга  $J_i$ , удовлетворяющих коммутационным соотношениям (10.2) алгебры Ли  $so(3)$ . Условие (10.3) для метрики выполняется в силу того, что  $J_i$  являются векторами Киллинга. В более сложных случаях, когда кроме гравитационного поля есть поля материи, на них нужно наложить условие (10.3).

Самый простой способ построить сферически-симметричную метрику состоит в том, чтобы «расложить» пространство-время на двумерные сферы со сферическими координатами на каждой. На двумерных сferах мы выберем координаты  $\vartheta, \varphi$  таким образом, чтобы векторы (10.7) были векторами Киллинга. Две остальные координаты мы обозначим через  $t$  и  $r$  по аналогии с плоским пространством. Немного ниже мы уточним их определение.

Требование, чтобы векторные поля  $J_i$  являлись полями Киллинга,

$$J_{i\mu;\nu} + J_{i\nu;\mu} = 0, \quad J_{i\mu} = g_{\mu\nu} J_i^\nu,$$

накладывает ограничения на метрику. Прежде всего, для  $J_z$  имеем

$$0 = J_{z\mu;\nu} + J_{z\nu;\mu} = -g_{\mu\varphi,\nu} - g_{\nu\varphi,\mu} + 2\Gamma_{\mu\nu}^\lambda g_{\lambda\varphi} = -g_{\mu\nu,\varphi}, \quad (10.8)$$

откуда следует, что компоненты метрики не зависят от  $\varphi$ .

Далее мы будем полагать  $i = x, y$ . Подставляя  $\mu, \nu = \vartheta, \varphi$ , получаем уравнения, из которых находим

$$g_{\varphi\vartheta} = 0, \quad g_{\varphi\varphi} = g_{\vartheta\vartheta} \sin^2 \vartheta, \quad \partial_\vartheta g_{\vartheta\vartheta} = 0. \quad (10.9)$$

Это значит, что индуцированная метрика на каждой сфере пропорциональна стандартной метрике  $d\Omega^2$  единичной сферы, то есть обладает  $SO(3)$ -симметрией.

Теперь, выбирая  $\mu = r, t$ ,  $\nu = \vartheta, \varphi$ , немедленно получаем

$$g_{\alpha a} = 0, \quad \alpha = t, r, \quad a = \vartheta, \varphi, \quad (10.10)$$

то есть подпространства  $\vartheta = \text{const}$ ,  $\varphi = \text{const}$  ортогональны сферам. Заметим, что это означает, что ковекторы  $\bar{g}(J_i) = g_{\mu\nu} J_i^\nu dx^\mu$  лежат в касательном пространстве к сфере, так же как векторы  $J_i$  лежат на касательном пространстве. Это же условие достаточно для того, чтобы двумерные символы Кристоффеля на сферах совпадали с соответствующими четырехмерными. Получаем

$$ds^2 = g_{tt} dt^2 + 2g_{tr} dt dr + g_{rr} dr^2 + g_{\vartheta\vartheta} d\Omega^2.$$

Из оставшихся условий следует, что

$$\partial_\vartheta g_{\alpha\beta} = 0, \quad \alpha, \beta = t, r, \quad (10.11)$$

то есть все четыре функции  $g_{tt}$ ,  $g_{tr}$ ,  $g_{rr}$ ,  $g_{\vartheta\vartheta}$  зависят только от  $t$  и  $r$ .

Заметим теперь, что метрика в факторпространстве  $M/SO(3)$ , где  $SO(3)$  — группа вращений, порожденная векторами Киллинга, есть метрика общего вида. Поэтому преобразованиями координат  $t, r$  мы можем зафиксировать две функции. Во-первых, потребуем, чтобы направления  $\partial_t$  и  $\partial_r$  были ортогональны, а во-вторых, определим  $r$  условием, чтобы длина большой окружности на любой из сфер  $t, r = \text{const}$  равнялась  $2\pi r$ . Это значит, что

$$g_{tr} = 0, \quad g_{\vartheta\vartheta} = -r^2. \quad (10.12)$$

Оставшиеся компоненты метрики  $g_{tt}$ ,  $g_{rr}$  удобно записать в экспоненциальном виде  $e^{2k}$ ,  $e^{2h}$ . Итак, сферически-симметричную метрику всегда можно представить в виде

$$ds^2 = e^{2k(t,r)} dt^2 - e^{2h(t,r)} dr^2 - r^2 d\Omega^2. \quad (10.13)$$

Метрика в таких координатах имеет диагональный вид, так что обратную метрику легко найти:

$$g^{\bullet\bullet} = e^{-2k(t,r)} \partial_t \otimes \partial_t - e^{-2h(t,r)} \partial_r \otimes \partial_r - r^{-2} (\partial_\vartheta \otimes \partial_\vartheta + \sin^{-2} \vartheta \partial_\varphi \otimes \partial_\varphi). \quad (10.14)$$

Будем точкой обозначать производную по  $t$  и штрихом — по  $r$ . Имеем для ненулевых символов Кристоффеля

$$\begin{aligned}\Gamma_{tt}^t &= \dot{k}, & \Gamma_{rt}^t &= k', & \Gamma_{tt}^r &= k'e^{2k-2h}, \\ \Gamma_{rt}^r &= \dot{h}, & \Gamma_{rr}^t &= \dot{h}e^{2h-2k}, & \Gamma_{rr}^r &= h', \\ \Gamma_{r\vartheta}^\vartheta &= \Gamma_{r\varphi}^\varphi = r^{-1}, & \Gamma_{\vartheta\vartheta}^r &= -re^{-2h}, & \Gamma_{\varphi\varphi}^r &= -re^{-2h}\sin^2\vartheta, \\ \Gamma_{\vartheta\varphi}^\varphi &= \operatorname{ctg}\vartheta, & \Gamma_{\varphi\varphi}^\vartheta &= -\sin\vartheta\cos\vartheta.\end{aligned}\tag{10.15}$$

Отсюда находим ненулевые компоненты тензора Риччи:

$$\begin{aligned}R_t^t &= (-\ddot{h} + \dot{k}\dot{h} - \dot{h}^2)e^{-2k} + (k'' + k'^2 - k'h' + 2r^{-1}k')e^{-2h}, \\ R_r^r &= (-\ddot{h} + \dot{k}\dot{h} - \dot{h}^2)e^{-2k} + (k'' + k'^2 - k'h' - 2r^{-1}h')e^{-2h}, \\ R_r^t &= 2r^{-1}e^{-2k}\dot{h}, \\ R_\vartheta^\vartheta &= R_\varphi^\varphi = -r^{-2}(1 + (rh' - rk' - 1)e^{-2h}),\end{aligned}\tag{10.16}$$

Решим уравнения Эйнштейна в вакууме  $R_\nu^\mu = 0$ . Из третьего уравнения немедленно имеем  $\dot{h} = 0$ , то есть  $h = h(r)$ . В первом и втором уравнениях выпадают все члены с производными по времени, и мы имеем систему обыкновенных дифференциальных уравнений по переменной  $r$ . Используя комбинации  $R_t^t \mp R_r^r$ , получаем

$$\begin{aligned}k' + h' &= 0, \\ k'' + k'^2 - k'h' + r^{-1}(k' - h') &= 0, \\ r(k' - h') &= e^{2h} - 1.\end{aligned}$$

Из первого уравнения немедленно имеем

$$k(t, r) = F(t) - h(r).$$

Функцию  $F(t)$  можно устраниТЬ преобразованием координат  $t' = \int dt e^{F(t)}$ , поэтому без ограничения общности положим ее равной нулю. Имеем

$$h = -k, \quad k'' + 2k'^2 + \frac{2k'}{r} = 0, \quad \frac{2dk}{e^{-2k} - 1} = \frac{dr}{r}.$$

Третье уравнение легко решается

$$e^{2k} = 1 - \frac{r_g}{r},$$

где  $r_g$  — некоторая постоянная размерности длины. Подставляя это решение во второе уравнение, убеждаемся, что оно тоже выполнено. Окончательно имеем

$$ds^2 = \left(1 - \frac{r_g}{r}\right) dt^2 - \frac{dr^2}{1 - \frac{r_g}{r}} - r^2 d\Omega^2.\tag{10.17}$$

Это решение называется *решением Шварцшильда*, а постоянная  $r_g$  — *гравитационным радиусом*.

Величину  $r_g$  легко выразить через полную энергию (массу) системы. Действительно, рассмотрим асимптотику решения Шварцшильда при  $r \rightarrow \infty$ :

$$ds^2 = \left(1 - \frac{r_g}{r}\right) dt^2 - \left(1 + \frac{r_g}{r}\right) dr^2 - r^2 d\Omega^2.$$

Эта асимптотика не соответствует виду (7.23), так как для нее  $h = 0$  и, следовательно,  $\psi_{rr} \neq 0$ . Но ее можно привести к нужному виду малым калибровочным преобразованиям  $r \rightarrow r + \frac{r_g}{2}$ . Тогда в первом порядке по  $r_g/r$  имеем

$$ds^2 = \left(1 - \frac{r_g}{r}\right) dt^2 - \left(1 + \frac{r_g}{r}\right) (dr^2 + r^2 d\Omega^2).$$

Переходя к «декартовым» координатам (10.4), находим  $h_{ij} = \delta_{ij}h_{tt}$ ,  $h_{tt} = -r_g/r$ ,  $h = 2r_g/r$ , откуда находим  $\psi_{ij} = h_{ij} + \frac{1}{2}h\delta_{ij} = 0$ ,  $\psi_{tt} = h_{tt} - \frac{1}{2}h = -2r_g/r$ . Это согласуется с асимптотическим решением (7.23) при  $A = -2r_g$ . Сравнивая с (7.27), получаем

$$r_g = 2GM.\tag{10.18}$$

Из сферической симметрии решения физически ясно, что момент импульса системы, создающей гравитационное поле, равен нулю. Это также строго следует из того, что в асимптотике  $\psi_{0i} = 0$ .

Важно отметить, что решение Шварцшильда является единственным (с точностью до преобразований координат) сферически-симметричным решением уравнений Эйнштейна в вакууме для любого сферического слоя. Это значит, что радиальные движения сферически-симметричной материи, как и в ньютоновской теории, не влияют на гравитационное поле в пустом пространстве снаружи.

Давайте изучим глобальные свойства решения (10.17). Если размер гравитирующих тел больше  $r_g$ , то решение (10.17) хорошо определено. Чтобы получить полное решение, мы должны спить его с решением в области, где  $T^{\mu\nu} \neq 0$ . В то же время, ничего не может гарантировать, что материя распределена достаточно неплотно. Вполне возможно, что сил отталкивания не хватит, чтобы удержать материю за пределами сферы  $r = r_g$ , на которой метрика имеет особенность. Более того, может так случиться, что при ненулевом, но небольшом тензоре энергии-импульса особенность просто сдвинется внутрь, но не исчезнет. Поэтому попробуем понять смысл этой особенности. Для этого найдем промежутки времени на прямых  $r, \vartheta, \varphi = \text{const}$  и расстояния на плоскостях  $t = \text{const}$ . Пусть частица неподвижно висит в шварцшильдовых координатах. Пусть  $dt$  — малый промежуток «глобального» координатного времени. Промежуток физического времени по часам частицы (ее собственного времени)  $d\tau$  равен

$$d\tau = \sqrt{1 - \frac{r_g}{r}} dt. \quad (10.19)$$

Эта величина стремиться к нулю при  $r \rightarrow r_g$ . Значит, прямая  $r = r_g, \vartheta, \varphi = \text{const}$  изотропна. Позже мы увидим, что на самом деле эта прямая является в пространстве-времени *единственной точкой*.

Теперь перейдем к измерениям расстояний в пространственных слоях. Так как система координат Шварцшильда имеет нулевые компоненты  $g_{0i}$ , пространственная часть метрики полностью определяет расстояния между точками. Мы немедленно получаем, что расстояния между точками на любой сфере  $r = \text{const}$ , в том числе и на сфере Шварцшильда  $r = r_g$ , определяются стандартной метрикой на сфере радиуса  $r$ :

$$dl_{\text{сф}}^2 = r^2 d\Omega^2.$$

Расстояния же вдоль радиуса растут с приближением к сфере Шварцшильда:

$$dl_{\text{рад}} = \left(1 - \frac{r_g}{r}\right)^{-1/2} dr.$$

Нетрудно проверить, что расстояние от сферы Шварцшильда до любой близлежащей точки (и, следовательно, до любой вообще точки) конечно. Пусть  $r - r_g \ll r_g$ . Тогда имеем

$$l_{\text{рад}}(r, r_g) = \int dr \left(1 - \frac{r_g}{r}\right)^{-1/2} \simeq \sqrt{r_g} \int \frac{dr}{\sqrt{r - r_g}} = 2\sqrt{r_g(r - r_g)}.$$

Это значит, что сфера Шварцшильда не «утолщается» в пространственном направлении.

Теперь покажем, что эти координаты не покрывают все физическое пространственно-временное многообразие. Для этого рассмотрим изотропные (светоподобные) кривые в плоскости  $(t, r)$ . В силу симметрии системы эти кривые должны быть геодезическими. Полагая  $d\vartheta = d\varphi = 0$  и  $ds = 0$ , получаем

$$dt = \pm \frac{dr}{1 - \frac{r_g}{r}}. \quad (10.20)$$

Знак «+» отвечает «фотону», летящему из центра, а знак «-» — «фотону», летящему к центру. Это уравнение нетрудно проинтегрировать, но даже без интегрирования ясно, что будет происходить с фотоном в будущем. Фотон, удаляющийся от центра, постепенно выйдет на асимптотику  $r = t$  и уйдет на бесконечность, в то время как «падающий» фотон будет приближаться к радиусу Шварцшильда по закону  $r - r_g \sim e^{-t/r_g}$ . Никакая частица не может обогнать свет и, тем самым, не может пересечь сферу Шварцшильда. Тем самым, массы никогда не достигнут этой сферы и проблема сингулярности просто не возникнет. Сфера Шварцшильда недостижима, а координаты внутри сферы Шварцшильда не являются продолжением карты вне сферы Шварцшильда.

Казалось бы, мы решили проблему сингулярности. Это так и не так. Это так, если мы наблюдаем за системой издалека. Действительно, удаленный наблюдатель будет видеть как частицы приближаются к сфере Шварцшильда, образуя вокруг нее тонкий слой, но никогда не пересекают ее. В тоже время удаленный наблюдатель будет замечать, как замедляется течение времени на падающих часах. На самом деле это время будет замедляться так быстро, что падающая частица достигнет радиуса Шварцшильда (и окажется в абсолютном будущем для удаленного наблюдателя!) за *конечное собственное время*.

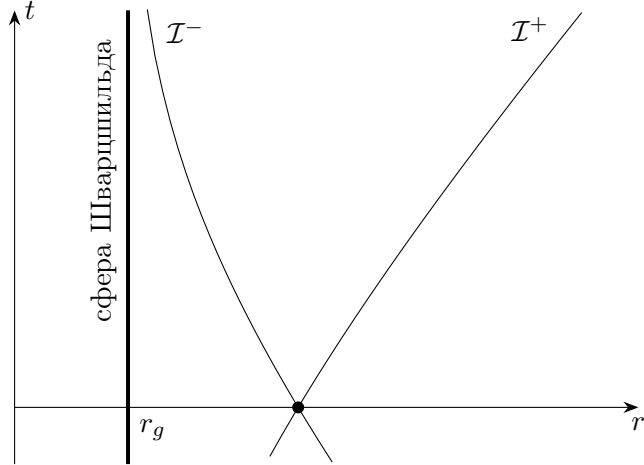


Рис. 10.1. Изотропные геодезические  $\mathcal{I}^\pm$  в шварцшильдовской метрике, соответствующие двум знакам в уравнении (10.20). Кривая  $\mathcal{I}^-$  приближается к сфере Шварцшильда, но никогда не достигает ее. Кривая  $\mathcal{I}^+$  уходит на бесконечность. Область внутри сферы Шварцшильда не покрывается картой и, на самом деле, не имеет смысла.

Чтобы убедиться в этом, найдем времениподобную геодезическую в плоскости  $(t, r)$ . Проще решить не уравнение геодезической (4.6), а уравнение Гамильтона—Яакби (4.20):

$$\left(1 - \frac{r_g}{r}\right)^{-1} \left(\frac{\partial S}{\partial t}\right)^2 - \left(1 - \frac{r_g}{r}\right) \left(\frac{\partial S}{\partial r}\right)^2 = m^2. \quad (10.21)$$

Умножив обе части на  $1 - r_g/r$ , мы получим

$$\left(\frac{\partial S}{\partial t}\right)^2 = m^2 \left(1 - \frac{r_g}{r}\right) + \left(1 - \frac{r_g}{r}\right)^2 \left(\frac{\partial S}{\partial r}\right)^2.$$

Левая часть содержит только производную по  $t$ , а правая — только производную по  $r$ . Давайте искать решение в таком виде, чтобы обе части были равны константе. Положим

$$\frac{\partial S}{\partial t} = -E, \quad (10.22)$$

Константа  $E$  имеет смысл энергии частицы, и связана с однородностью задачи по времени. Так как энергия всюду входит в виде квадрата, мы будем считать ее положительной. Теперь имеем

$$S(t, r) = -Et + S_r(r),$$

и уравнение превращается в уравнение для  $S_r$ :

$$\left(\frac{dS_r}{dr}\right)^2 = E^2 \left(1 - \frac{r_g}{r}\right)^{-2} - m^2 \left(1 - \frac{r_g}{r}\right)^{-1}.$$

Отсюда получаем

$$S_r(r) = \pm \int dr \frac{E}{1 - \frac{r_g}{r}} \sqrt{1 - \frac{m^2}{E^2} \left(1 - \frac{r_g}{r}\right)}.$$

Дифференцируя полное действие  $S(t, r, E)$  по параметру  $E$ , имеем

$$-t_0 = \frac{\partial S}{\partial E} = -t \pm \int \frac{dr}{\left(1 - \frac{r_g}{r}\right) \sqrt{1 - \frac{m^2}{E^2} \left(1 - \frac{r_g}{r}\right)}},$$

где  $t_0$  — новая константа, имеющая смысл «начального» момента времени. Итак

$$t - t_0 = \pm \int \frac{dr}{\left(1 - \frac{r_g}{r}\right) \sqrt{1 - \frac{m^2}{E^2} \left(1 - \frac{r_g}{r}\right)}} \quad (10.23)$$

Это — алгебраическое уравнение, задающее мировую линию частицы. Мы сейчас не будем изучать подробно это уравнение и свойства его решений. Мы сделаем это в следующий раз. Нас интересует собственное время и мы его выпишем:

$$d\tau = ds = -\frac{ds}{m} = \frac{E}{m} dt - \frac{dS_r(r)}{m} = \pm \frac{m}{E} \frac{dr}{\sqrt{1 - \frac{m^2}{E^2} \left(1 - \frac{r_g}{r}\right)}}. \quad (10.24)$$

Найдем полное собственное время, которое требуется частице, чтобы переместиться из точки  $r = r_0$  в точку  $r_g$ . Выбирая нижний знак, а затем меняя направление интегрирования, находим

$$\tau_{\text{пад}} = \frac{m}{E} \int_{r_g}^{r_0} \frac{dr}{\sqrt{1 - \frac{m^2}{E^2} \left(1 - \frac{r_g}{r}\right)}}. \quad (10.25)$$

Важно, что собственное время падения *конечно*, так как подынтегральное выражение всюду конечно и не имеет особенностей при  $r = r_g$ . Если  $E < m$ , имеется особенность при  $r = r_g m / \sqrt{m^2 - E^2}$ , но это интегрируемая особенность. Она отвечает финитному движению: частица взлетела, а потом начала падать.

Заметим, что

$$d\tau = \frac{m}{E} \left(1 - \frac{r_g}{r}\right) dt. \quad (10.26)$$

Первый множитель  $m/E$  постоянен и для бесконечно удаленной частицы равен  $\sqrt{1 - v^2}$ , то есть дает замедление времени частицы, связанное с ее «первоначальным» движением. Второй множитель  $1 - r_g/r$  дает гравитационное замедление времени, отличное от замедления (10.19) для «неподвижно висящей» частицы.

Чтобы построить координаты, выходящие за пределы шварцшильдовской карты, придется откастаться от статичности метрики. Вместо координат  $(t, r)$  удобно будет использовать координаты светового конуса  $x^\pm$ . Потребуем, чтобы решения уравнения (10.20) записывались в виде  $x^\mp = \text{const}$ . Отсюда

$$dx^\pm = dt \pm \frac{dr}{1 - \frac{r_g}{r}}. \quad (10.27)$$

Явное интегрирование дает

$$x^\pm = t \pm r^*, \quad r^* = r + r_g \log \left( \frac{r}{r_g} - 1 \right). \quad (10.28)$$

Эти уравнения определяют  $t, r$  как функции переменных  $x^\pm$ . Важно, что любой паре вещественных чисел  $(x^-, x^+)$  можно сопоставить точку в области  $r > r_g$ . Бесконечному прошлому и бесконечному будущему в шварцшильдовой метрике отвечают пределы  $x^- + x^+ \rightarrow \mp\infty$ , бесконечно удаленной точке при конечном времени — предел  $x^+ - x^- \rightarrow +\infty$ , а сфере Шварцшильда — предел  $x^+ - x^- \rightarrow -\infty$ . Таким образом на  $r = r_g$  один из параметров  $x^\pm$  может оставаться конечным, но тогда на этом радиусе  $t \rightarrow \pm\infty$ .

Переменные  $x^\pm$  дают возможность построить сразу несколько координатных систем. Начнем с простейшей. Выберем в качестве времени одну из координат светового конуса, например  $x^+$ , а в качестве

пространственной координаты отставим  $r$ . Тогда мы получим координаты Эддингтона—Финкельштейна:

$$ds^2 = \left(1 - \frac{r_g}{r}\right) (dx^+)^2 - 2 dx^+ dr - r^2 d\Omega^2. \quad (10.29)$$

Метрика в этих координатах по-прежнему стационарна. Однако на поверхности  $r = r_g$  уже нет особенности: компоненты конечные и гладкие, а метрика невырождена,  $g = -r^4 \sin^2 \vartheta \neq 0$ . Легко видеть, что кривые  $r = r_g$ ,  $\vartheta, \varphi = \text{const}$  являются изотропными геодезическими  $x^- = \text{const}$ , которые расходятся от центра при  $r > r_g$  и сходятся к центру при  $r < r_g$  (Рис. 10.2). Поверхность  $r = r_g$  представляет собой *горизонт событий будущего*  $\mathcal{H}^+$ , из-за которого мы не можем получать никаких сигналов, так как все частицы, испущенные под горизонтом событий, не выходят из под него, а падают на сингулярность, которая лежит на линии  $r = 0$ . Область внутри горизонта событий будущего называют *черной дырой*.

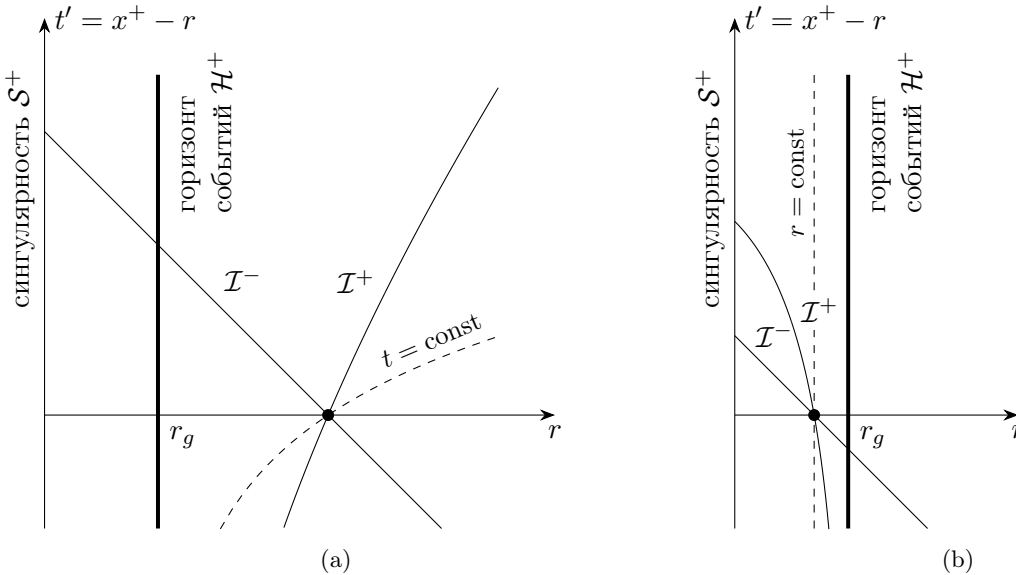


Рис. 10.2. Координаты Эддингтона—Финкельштейна. Для большей наглядности на оси ординат мы отложили время  $t' = x^+ - r$ , асимптотически переходящее в временную координату пространства Минковского. (а) Начальная точка находится вне горизонта событий. Изотропная кривая  $I^-$  ( $x^+ = \text{const}$ ) пересекает горизонт событий и достигает сингулярности. Изотропная кривая  $I^+$  ( $x^- = \text{const}$ ) уходит на бесконечность. Пунктирной линией обозначена поверхность синхронных событий, т.е. постоянного шварцшильдовского времени  $t$ . (б) Начальная точка находится за горизонтом событий. Обе изотропных геодезических  $I^-$  и  $I^+$  достигают сингулярности. Одновременными в смысле синхронизации часов здесь будут события на поверхности  $r = \text{const}$  (пунктир).

Важный факт состоит в том, что внутри черной дыры частица достигает сингулярности тоже за конечное собственное время. Для этого перейдем к координатам Шварцшильда в области *под горизонтом* заменой координат

$$x^+ = t + r^*, \quad r^* = r + r_g \log \left(1 - \frac{r}{r_g}\right).$$

Заметим, что в силу условия  $r < r_g$  координата  $r$  играет роль времени, а  $t$  — пространственной координаты. Теперь для вычисления собственного времени под горизонтом мы снова можем воспользоваться формулой (10.24). Имеем

$$s_{\text{синг}} = \frac{m}{E} \int_0^{r_g} \frac{dr}{\sqrt{1 - \frac{m^2}{E^2} \left(1 - \frac{r_g}{r}\right)}}. \quad (10.30)$$

Эта величина, очевидно, конечна.

Координаты Эддингтона—Финкельштейна сохраняют стационарность метрики, но в них мы теряем симметрию по отношению к обращению времени. Дело в том, что линия  $r = r_g$  в этих координатах находится в *абсолютном будущем* по отношению ко всей области  $r > r_g$  и в шварцшильдовых координатах находится в бесконечном будущем  $t \rightarrow +\infty$ . Область  $r > r_g$  представляет собой одну и ту же

область и в координатах Эддингтона—Финкельштейна и в координатах Шварцшильда, но координаты Эддингтона—Финкельштейна растягивают двумерную сферу  $r = r_g$ ,  $t = +\infty$ , которая «собирает» все изотропные геодезические типа  $\mathcal{I}^-$ , в трехмерный горизонт событий  $\mathcal{H}^+$ , и уводят сферу Шварцшильда в бесконечное прошлое  $x^+ = -\infty$ . Обозначим карту, покрываемую координатами Эддингтона—Финкельштейна через  $EF^+$ , а карту, покрываемую координатами Шварцшильда через  $Sc$ . Тогда  $EF^+ \supset Sc$ .

Обращению времени в этой конструкции отвечает замена  $x^+ \rightarrow -x^-$ , что дает альтернативную систему координат Эддингтона—Финкельштейна  $EF^-$ :

$$ds^2 = \left(1 - \frac{r_g}{r}\right) (dx^-)^2 + 2 dx^- dr - r^2 d\Omega^2. \quad (10.31)$$

Эта система продолжает систему координат Шварцшильда в бесконечное прошлое. В новой системе координат поверхность  $r = r_g$  представляет собой *горизонт событий прошлого*  $\mathcal{H}^-$ . Сингулярность  $r = 0$  в этой области не поглощает частицы, а испускает их. Область внутри горизонта событий прошлого отлична от области внутри горизонта событий будущего, и попасть из нее в черную дыру минуя область  $r \geq r_g$  невозможно. Ее называют *белой дырой*. Карта Шварцшильда оказывается пересечением двух карт:  $Sc = EF^+ \cap EF^-$ .

Как же совместить две картины (10.29) и (10.31)? Для этого надо полностью перейти к координатам светового конуса  $x^\pm$ :

$$ds^2 = \left(1 - \frac{r_g}{r(x^-, x^+)}\right) dx^- dx^+ - r^2(x^-, x^+) d\Omega^2. \quad (10.32)$$

Пока ничего нового, по сути, не произошло. Новая идея состоит в том, чтобы отобразить каждую из переменных  $x^\pm$  на полуось. Это отвечает тому, что мы теперь воспринимаем плоскость  $(t, r)$  не как предел квадрата со сторонами, параллельными осям  $t$  и  $r$ , а как предел квадрата со светоподобными сторонами, параллельными осям  $x^-$  и  $x^+$ . В координатах Эддингтона—Финкельштейна мы спокойно «уходили на временную бесконечность» вблизи горизонта событий, оставляя конечными координаты  $x^+$  и  $r$ . Но в этой бесконечности координата  $x^-$  будет стремиться к бесконечности вместе с  $t = \frac{1}{2}(x^- + x^+)$ . Поэтому неплохо бы ее как-то «поджать». Аналогично, в прошлом неплохо бы «поджать»  $x^+$ . Это достигается в *координатах Крускала—Сéкереша*

$$u = -2r_g e^{-x^-/2r_g}, \quad v = 2r_g e^{x^+/2r_g}, \quad (10.33)$$

которые остаются конечными на горизонтах событий. Из (10.28) получаем

$$uv = -4r_g^2 e^{r/r_g} \left(\frac{r}{r_g} - 1\right). \quad (10.34)$$

То есть условию  $r = r_g$  отвечают две поверхности  $u = 0$  и  $v = 0$ . Шварцшильдовской области  $r > r_g$  отвечает квадрант  $u < 0, v > 0$ , причем значению  $r = r_g$  при конечных  $t$  соответствует в пространстве  $(u, v)$  единственная точка  $u = v = 0$ . То есть сфера Шварцшильда является *двумерной сферой*, а не трехмерным цилиндром. Это немедленно сказывается на метрике. Она перестает быть сингулярной как на шварцшильдовской сфере, так и на горизонтах событий:

$$ds^2 = \frac{r_g}{r(u, v)} e^{-\frac{r(u, v)}{r_g}} du dv - r^2(u, v) d\Omega^2. \quad (10.35)$$

Здесь  $r$  записана как функция новых переменных  $u, v$ , которая решает уравнение (10.34).

Систему координат Крускала удобно изобразить графически с помощью *диаграммы Пенроуза* или *конформной* или *причинной* *диаграммы*. Для этого от некомпактных координат  $u, v$  следует перейти к компактным переменным  $u', v'$  с помощью замены

$$u = 2r_g \operatorname{tg} u', \quad v = 2r_g \operatorname{tg} v'.$$

В двумерном пространстве  $(u, v)$  это преобразование является конформным и сохраняет изотропные направления. Дополнительное преобразование *Вейля*

$$g'_{\mu\nu}(x) = \Omega(x) g_{\mu\nu}(x)$$

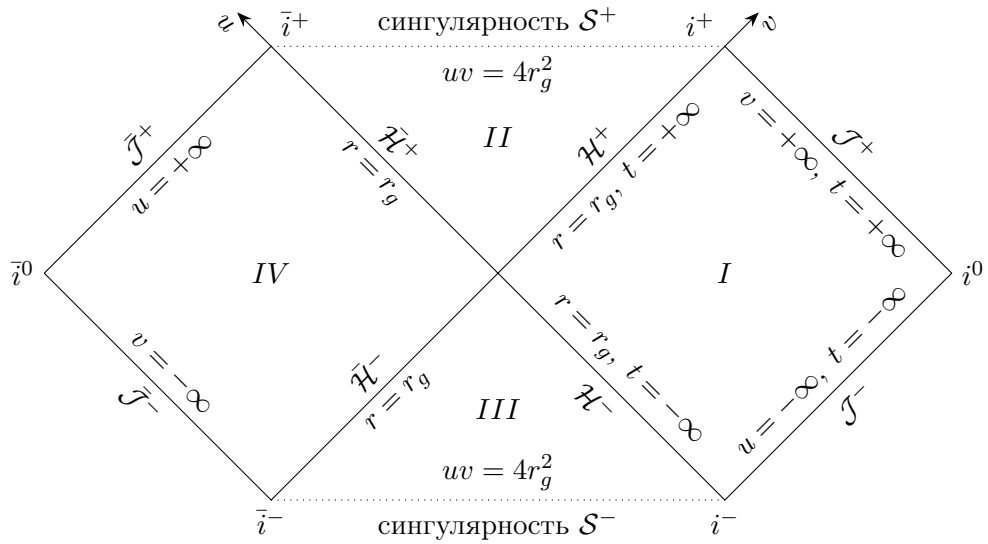


Рис. 10.3. Диаграмма Пенроуза для максимально расширенного многообразия Крускала.  $I$  — область, покрываемая картой Шварцшильда;  $II$  — черная дыра;  $III$  — белая дыра;  $IV$  — «зазеркалье». Имеем  $I = Sc$ ,  $I \cup II = EF^+$ ,  $I \cup III = EF^-$ .

с множителем

$$\Omega(x) = \frac{r(u, v)}{r_g} e^{\frac{r(u, v)}{r_g}} \frac{1}{(1 + u^2/4r_g^2)(1 + v^2/4r_g^2)}$$

отобразит метрику (10.35) в плоскую метрику листа бумаги. В общем случае диаграммы Пенроуза получаются сжатием («компактификацией») координат светового конуса, поэтому изотропные кривые всегда изображаются на них отрезками прямых, лежащими под углом  $45^\circ$  к горизонту, и причинная структура пространства-времени становится понятной. Диаграмма Пенроуза для метрики Шварцшильда изображена на Рис. 10.3.

Горизонт событий будущего  $\mathcal{H}^+$  изображается лучом  $u = 0, v > 0$ , а горизонт событий прошлого  $\mathcal{H}^-$  — лучом  $v = 0, u < 0$ . Оба луча ограничивают внешнюю область  $v > 0, u < 0$ , что эквивалентно  $r > r_g$  в шварцшильдовых координатах. Эта область обозначена на конформной диаграмме 10.3 как область  $I$ . Схематично координаты Шварцшильда на конформной диаграмме изображены на Рис. 10.4.

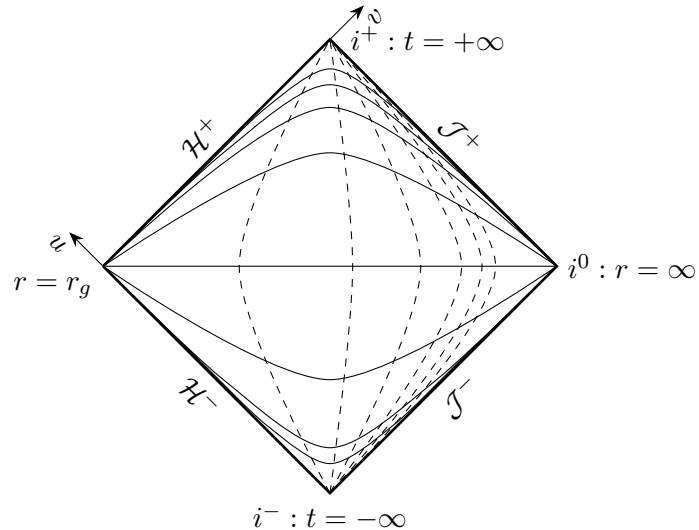


Рис. 10.4. Координатная сетка Шварцшильда в области  $I$  диаграммы Пенроуза (качественно). Линии времени  $t$  (пунктирные) сгущаются к правому краю, линии радиальной координаты  $r$  (сплошные) одинаково сгущаются сверху и снизу.

Достоинство координат  $u, v$  состоит в том, что мы можем продолжить метрику (10.35) из области

$u < 0, v > 0$  (область  $I$ ) в будущее в область  $u, v > 0$  (область  $II$ , черная дыра) и в прошлое в область  $u, v < 0$  (область  $III$ , белая дыра). Формально области  $II$  и  $III$  отвечают значениям  $r < r_g$ , но, на самом деле, представляют собой две совершенно отдельные области пространства-времени, независимо описываемые областью  $r < r_g$  координат Шварцшильда. Насколько далеко можно продолжить метрику в область положительных значений  $uv$ ? До тех пор, пока мы не достигнем линий сингулярности

$$r(u, v) = 0 \Leftrightarrow uv = 4r_g^2. \quad (10.36)$$

При  $u, v > 0$  сингулярность находится в абсолютном будущем (см. рис. 10.3) для всех событий внутри области  $II$ . никакая траектория не может миновать сингулярности. При  $u, v < 0$  сингулярность находится в абсолютном прошлом.

Кроме областей  $I$ ,  $II$  и  $III$  мы видим на диаграмме область  $IV$ , которая необходима, если мы хотим избежать ситуации, когда частицы пропадают неизвестно куда или появляются ниоткуда в регулярных точках.<sup>1</sup> Эта область представляет собой невидимый «зеркальный мир», с которым не может быть никакой коммуникации из области  $I$ ,<sup>2</sup> но который обязан существовать. Формально горизонт  $\bar{\mathcal{H}}^+$  и бесконечность  $\bar{\mathcal{J}}^+$  отображаются в область  $t \rightarrow -\infty$ , а горизонт  $\bar{\mathcal{H}}^-$  и бесконечность  $\bar{\mathcal{J}}^-$  — в область  $t \rightarrow +\infty$ , так что можно предположить, что время там течет в некотором смысле назад. Однако, скорее всего, это относится к области умозрительных непроверяемых предположений.

### Задачи

1. Покажите, что векторные поля  $J_i$ , определенные в (10.1), являются векторами Киллинга в плоском пространстве-времени и удовлетворяют соотношениям (10.2) алгебры  $so(3)$ .
2. Завершите доказательство (10.9)–(10.11).
3. Проверьте формулы (10.15) и (10.16).
4. Используя уравнение Гамильтона—Якоби, покажите, что в некоторой окрестности любой точки метрику можно привести к виду

$$ds^2 = g_{--}(dx^-)^2 + 2dx^-d\tau + 2g_{-i}dx^-dx^i + g_{ij}dx^idx^j, \quad i = 2, \dots, d-1.$$

Здесь  $\tau$  является аффинным параметром изотропных геодезических. В случае  $g_{-i} = 0$  эти геодезические даются уравнениями  $x^- = \text{const}$ ,  $x^i = \text{const}$ . Такая метрика обобщает метрику Эддингтона—Финкельштейна.

5\*. Используя конструкцию, которую мы обсуждали на Семинаре 6, и формулы (10.21)–(10.24), постройте синхронную систему отсчета в подпространстве  $\vartheta, \varphi = \text{const}$ . Перейдите от координат  $(t, x)$  к координатам  $\tau = -S/m$  и  $\varepsilon = E/m$  и найдите метрику в этих координатах. Как меняется с собственным временем расстояние между частицами, которые начали падать одновременно из одной точки с немного разными энергиями? Как оно ведет себя вблизи сингулярности?

### Семинар 10

#### Гравитационное поле статического сферически-симметричного тела

В случае статического сферически-симметричного тела с тензором энергии-импульса

$$T_t^t = \rho(r), \quad T_j^i = -p(r)\delta_j^i$$

задачу нахождения гравитационного поля можно решить точно. Уравнения Эйнштейна принимают вид

$$\begin{aligned} \dot{h} &= 0, \\ r^{-1}e^{-2h}(k' + h') &= 4\pi G(\rho + p), \\ e^{-2h}(k'' + k'^2 - k'h' + r^{-1}(k' - h')) &= 8\pi Gp, \\ r^{-2}(1 - e^{-2h}) + r^{-1}(h' - k')e^{-2h} &= 4\pi G(\rho - p). \end{aligned}$$

<sup>1</sup>Естественно, можно рассматривать и многолистные накрытия пространства, изображенного на рис. 10.3 с точкой ветвления  $u = v = 0$  ( $r = r_g$ ), в которых будет несколько (или даже бесконечно много) областей типа  $I, II, III, IV$ .

<sup>2</sup>Точнее, мы можем что-то узнать об этом мире, только упав на черную дыру, если мы, конечно, выживем, когда нас будут разрывать приливные силы. В любом случае наше знание пропадет, когда мы упадем на сингулярность.

Первое уравнение приводит к статичности метрики. Уравнение для  $h(r)$  отделяется и дает

$$e^{-2h} = 1 - \frac{2Gm(r)}{r}, \quad m(r) = 4\pi \int_0^r dr r^2 \rho(r). \quad (10.37)$$

С помощью четвертого уравнения отсюда легко найти  $k'(r)$ :

$$\frac{dk}{dr} = G \frac{m(r) + 4\pi r^3 p(r)}{r(r - 2Gm(r))}.$$

Подставляя ответ в третье уравнение, получаем *условие статического равновесия Оппенгеймера–Волкова*

$$\frac{dp}{dr} = -G \frac{(\rho + p)(m(r) + 4\pi r^3 p(r))}{r(r - 2Gm(r))}. \quad (10.38)$$

На этом уравнении строится теория устойчивости звезд (в тех случаях, когда вращением можно пренебречь). Уравнение следует решать с граничным условием  $p(R) = 0$ , где  $R$  — радиус звезды.

Давайте оценим предел устойчивости звезд. Критерий устойчивости звезды радиуса  $R$  имеет вид:

$$r > 2Gm(r) \quad \forall r < R. \quad (10.39)$$

Проще всего найти критерий устойчивости для звезды, состоящей из несжимаемого вещества  $\rho = \text{const}$ . В этом случае для предельной массы имеем

$$M_{\max} = \sqrt{\frac{3}{32\pi\rho G^3}}. \quad (10.40)$$

Для нейтронной звезды с плотностью  $\rho \simeq 3 \cdot 10^{14} \text{ g/cm}^3$  имеем  $M_{\max} \simeq 6.6 M_{\odot}$ , где  $M_{\odot}$  — масса Солнца.

Рассмотрим теперь звезду с уравнением состояния

$$p = \alpha\rho. \quad (10.41)$$

В случае  $\alpha = \frac{1}{3}$  это уравнение представляет собой уравнение ультрапрелиativистского идеального газа. Здесь имеется точное решение

$$m(r) = Kr, \quad K = \frac{2\alpha}{\alpha^2 + 6\alpha + 1} G^{-1}, \quad (10.42)$$

и критерий устойчивости состоит в том, что  $K < \frac{1}{2G}$ . Это условие выполнено при любых  $\alpha$ . Масса такой звезды может быть сколь угодно велика и определяется только «обрезкой» на малых плотностях, где закон (10.41) перестает работать. Поэтому предельная масса существенно зависит от уравнения состояния при малых плотностях.